



1.076.- Coluvión sobre las Pizarras
de Luarca. (Q₂C)



1.077.- Intersección de la estratificación y de la S_1 en el flanco normal basculado del anticlinal de Mondoñedo. Tramos inferiores de la Cuarcita de Candana superior. (CAIq)



1.078.- Tramo inferior de la Cuarci-
ta de Candana superior. Flanco nor-
mal basculado del anticlinal de Mon-
doño. (CA19)



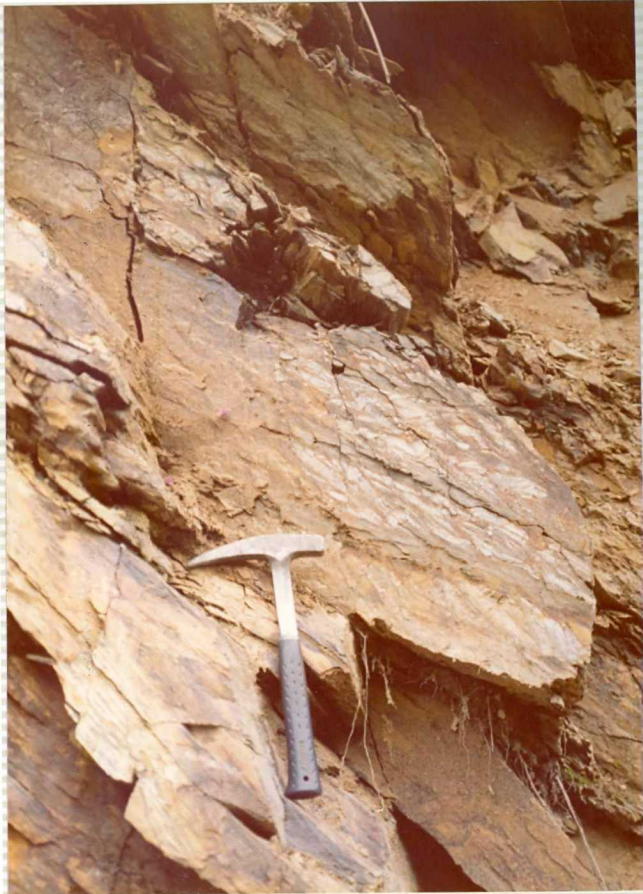
1.079.- Estratificación gradada en los niveles inferiores de la Cuarcita de Candana superior.(CA₁₉)



1.081.- Estratificación cruzada en
1a Cuarcita de Candana superior.
(CA19)

1.082. - Estratificación cruzada en
la Cuarcita de Candana superior.
(A_{1q})





1.083.- Flanco normal en la serie
pelítico-arenosa de las Pizarras
de Luarca. Sinclinal de Rececende.
(02)



1.085.- Afloramiento del flanco normal basculado del anticlinal de Mondoñedo, en la Cuarcita de Candana superior. (CA_{1q})

1.086.- Pizarras negras ampelíticas
Capas de tránsito muy próximas al
contacto con la Cuarcita de Candana
superior.(CA_{1P2})



arenisca hacia el techo de
de tránsito, cerca de la
Vegadeo. (CA₄P₂)

1.087.- Capas de tránsito. Alternan-
cia rítmica de areniscas y pizarras.
Muestra partida según S₁, observese
la lineación de intersección. (CA₄P₂)





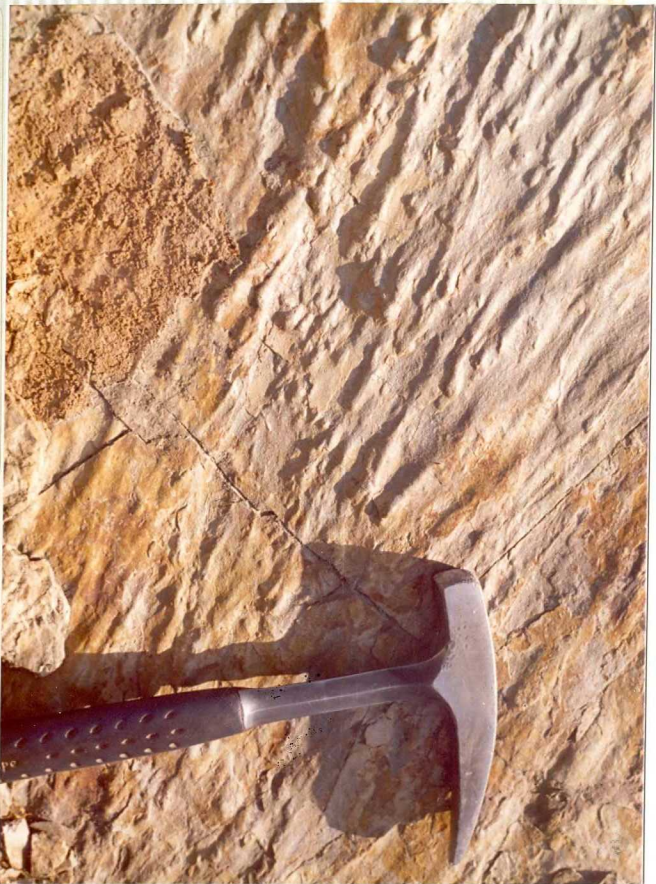
1.088.- Huellas de carga ("Load Cast") con crucianas en las capas inferiores del río Eo. (0¹²/₁₂)



1.089.- "Ripple marks" de interfe-
rencia en ¹⁻² las Capas inferiores del
río Eo. (0₁₂).



1.090.- "Prod cast" en las capas
inferiores del río Eo. (01²/₂)



1.091.- "Prod cast" en las capas inferiores del río Ho. (0¹/₂)



1.092.- "Ripple marks" de interferencia en las capas inferiores del río Eo. (C₁₂ O₁₂ 2)



1.095.- Huellas de carga ("Load
cast") en las capas inferiores del
río Fo. (01¹²)

1.096.- Lentejón calcáreo. Ermita
de S. Julián. Parte superior de las
Pizarras de Candana.(c de CA₁P₁)

(c de CA₁P₁)



1102.- Vista de las capas superiores del río Eo, en la Sierra de Meira. (0₁₂²)



1036



1.108.- Pizarras de Luarca.(O₂)



122.- Estratificación cruzada en un nivel de arenisca hacia el techo de las Capas de tránsito, cerca de la Caliza de Vegadeo. (CA₂p₂)

1.087.- Capas de tránsito rítmica de areniscas. Muestra partida según S

123.- Caliza con estructuras de al-
gas. Tramos inferiores de la Caliza
de Vegadeo. (CA_{4c})





124.- Serie de Villalba, tramo superior. Precámbrico. (PC5+5A)



125.- Paleocanal relleno por sedimentos muy heterogéneos de matriz roja, dentro del Precámbrico.



126.- Capas de Riotorto. (CA₂₋₃)

128. - Tramo de pizarras negras am-
pelíticas hacia el muro de las Piza-
rras de Candana. (CA₁P₁)





129. - Caliza bandeada. Tramos inferiores de la formación Pizarras de Candana. (c de CA1P1)

130.- Alternancia de cuarcitas y calizas en las Pizarras de Candana.
(CA₁P₁ y c).

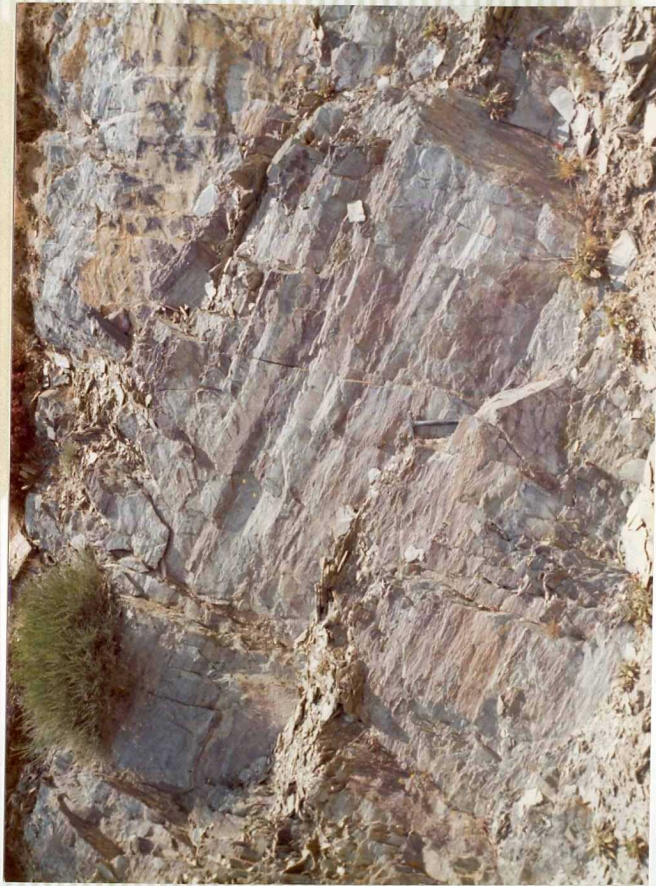




131.- Caliza. Nivel superior calizo dentro de la parte inferior de la formación Pizarras de Candana.
(C de CA₁ p₄)

ión calcáreo Ermita

132.- Capas de Villamea. Flanco in-
verso del sinclinal de Rececede.
(CA₂₋₃-O₁₂¹)





133.- Pizarras de Candana. (C₄p₁)



135.- Pizarras de Candana. (C.A.P.M.)

136.- Pizarras de Candana. (CA₁P₁)



1.501.- Detalle de la muestra
PG-1501 correspondiente a la lla-
nura aluvial del río Miño, Q₂A1.





1.503.- Detalle de la muestra 1503
PG-1.503 correspondiente a la te-
rraza Q_1T_3 del río Anllo.



1.520.- Panorámica del cono de deyección Q_1Cd_1 en El Loboso.



1.521.- Detalle del material del cono Q_1Cd_1 . Misma situación de la fotografía anterior.



1.522.- Detalle que representa forma y tamaño de la fracción bloque, del depósito Q_1Cd_1 . (Misma posición de la fotografía anterior).



1.524.- Detalle canchal. Tamaño y forma de los elementos cuarcíticos que lo componen. (Q_2Ch)



1.525.- Posición morfoestratigráfica de un canchal a techo de un coluvión más antiguo con matriz limo-arcillo-arenosa. (Q₂Ch)



1.556.- Techo arcilloso de los depósitos terciarios de la cuenca de Villalba, dentro de la Hoja. Cantera de Carballeira.(T^B)



1.557.- Caliza de Vegadeo en la cantera de Parajes. Capas buzando al \bar{O} .
(CAjc)



1.558.- Alternancia de arcillas ver
de-azuladas con arenas limo-arcillo
sas. A techo paleocanal que erosio-
na los estratos inferiores. Cantera
de Meimonta (T^a)



1.559.- Vista de los depósitos terciarios de la Cuenca de Villalba en la Hoja. Cantera de Moimenta.(T^b)



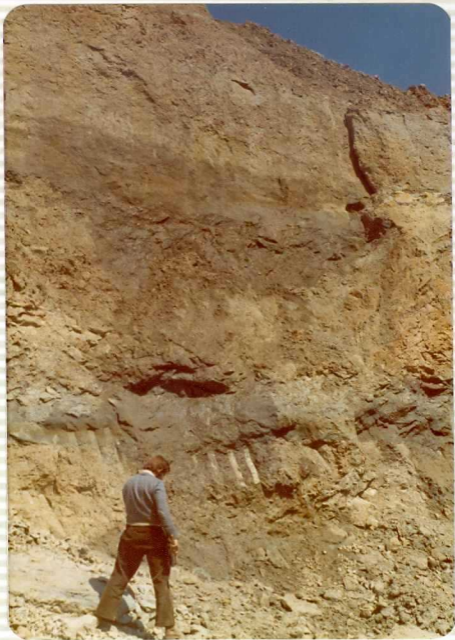
1.560.- Vista de los depósitos terciarios de la Cuenca de Villalba en la Hoja. Cantera de Moimenta.(T^o)



1.561.- Vista de los depósitos terciarios de la Cuenca de Villalba en la Hoja. Cantera de Moimenta.(T^B)



1.562.- Vista de los depósitos terciarios de la Cuenca de Villalba en la Hoja. Cantera de Moimenta.(T^B)



1.563.- Vista de los depósitos terciarios de la Cuenca de Villalba en la Hoja. Cantera de Moimenta.(T^B)



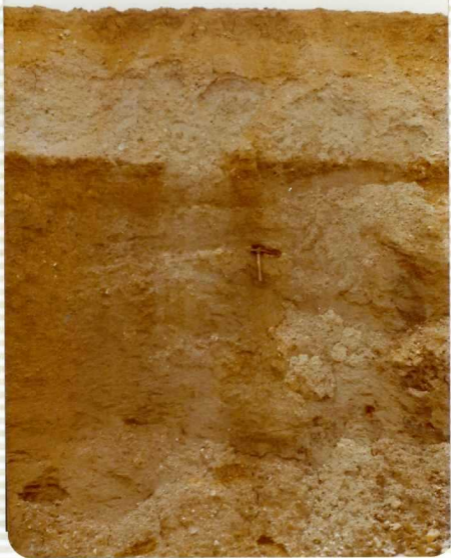
1.564.- Depósitos terciarios de la Cuenca de Villalba en la Hoja y en la cantera próxima a Roas. Alternancia de arenas feldespáticas limo-arcillosas con paquetes de arcillas rojas y verde-azuladas. (T^B)



1.565.- Depósitos terciarios de la Cuenca de Villalba en la Hoja y en la cantera próxima a Roas. Alter-nancia de arenas feldespáticas limo-arcillosas con paquetes de arcillas rojas y verde-azuladas. (T^o)



1.566.- Depósitos neógenos en la cantera de Pastoriza. Vista general de la alteración de las pizarras de las Capas de tránsito y detalle del contacto de dichas pizarras con los materiales detríticos de la facies neógena. (T^b)



1.567.- Depósitos neógenos en la cantera de Pastoriza. Vista general de la alteración de las pizarras de las Capas de tránsito y detalle del contacto de dichas pizarras con los materiales detríticos de la facies neógena. (T^o)



1.568.- "Debris flow" de la facies roja de borde de los depósitos terciarios de la cuenca de Villalba en la Hoja. (T^B)



1.569.- "Debris flow" de la facies roja de borde de los depósitos terciarios de la cuenca de Villalba en la Hoja. (T^B)



1.570.- "Debris flow" de la facies roja de borde de los depósitos terciarios de la cuenca de Villalba en la Hoja. (T^o)



1.571.- Depósitos fluviales disturbados del Neógeno de Pastoriza. (T^B)
Proximidades de Miñotelo.



1.572.- Detalle de estos materiales.
Observese el buen redondeamiento y
esfericidad de los cantos de cuarzo.
(T^B)



1.573.- Centil tamaño bloque en cuarzo de los materiales neógenos de Pastoriza. (T^b)

1.580.- Tierra parda húmeda y Ranker
sobre la serie de la Cuarcita de Can-
dana inferior.





1.585.- Aspecto de la terraza Q_1T_2 .
Gravas de cuarzo en matriz limo-arcillo-arenosa de color pardo-amari-llento.



1.586.- Gravas en matriz limo-arcillo-arenosa de color pardo-amari-llento en la Terraza Q₁T₁.



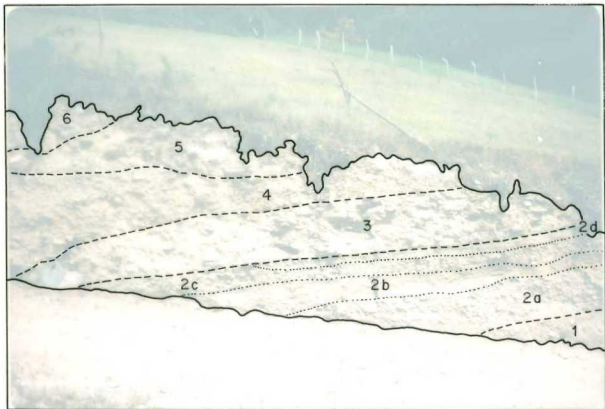
1.587.- Detalle de la terraza Q_1T_1
y de la tierra parda húmeda que la
fossiliza.



1.589.- Corte de la terraza del río Eo de +12-14 m. sobre la que se apoyan diferentes depósitos coluvionares.



1.590.- Descripción de los niveles
que componen el corte de la fotogra-
fía anterior.



1.590.- Descripción de los niveles que componen el corte de la fotografía anterior.

- | | | | |
|----|--|----|--------------|
| 1: | COLUVION 1 | 3: | COLUVION 2 . |
| 2: | TERRAZA DEL RIO EO. +12-14 m. | 4: | COLUVION 3 . |
| | a) Gravas con matriz arenosa. | 5: | COLUVION 4 . |
| | b) Arenas de grano grueso. | 6: | COLUVION 5 . |
| | c) Gravas con matriz arenosa. | | |
| | d) Gravas finas que en parte comienzan con un nivel arenoso similar a b) | | |



1.591.- Detalle de la terraza del río Eo de +12-14 m. fosilizada por los distintos coluviones. Observese la laminación oblicua del nivel de dunas situado a la altura del martillo.



652.- Cuarcita de Candana superior.
(CA₁₉)



655.- Cuarcita de Candana inferior.
(CA₁)



656.- Ritmita arenoso-pelítica.
Cuarcita de Candana inferior. (CA₁)



657.- Cuarcita de Candana inferior.
(CA₁)



658.- Cuarcita de Candana superior.
(CA₁₉)



659.- Flanco normal basculado del anticlinal de Mondoñedo al N de Pastoriza. Cuarcita de Candana superior. (CA₁₉)



660.- Tramo superior cuarcítico de la formación cuarcita de Candana superior. (CA₁₉)



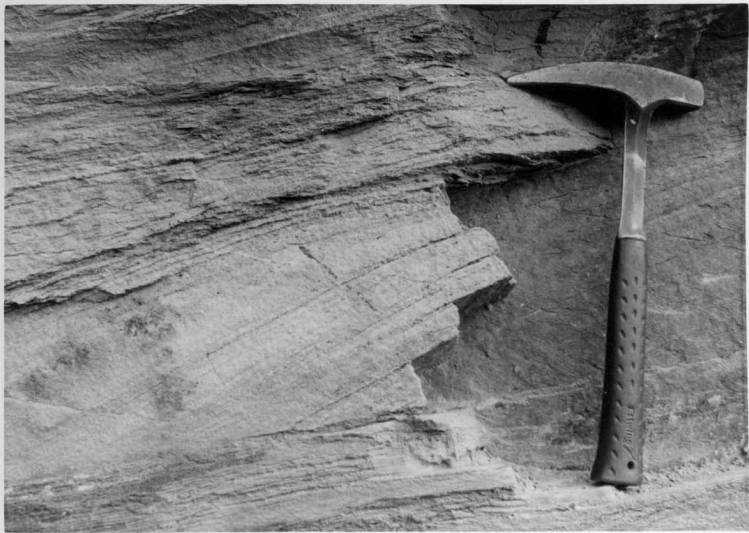
661.- Cuarquita de Candana superior.
Tramo culminante de la serie.(CA₁₉)



669.- Cabalgamiento en la caliza de Vegadeo. Cantera de Vales.(CA1c)



676.- Estratificaciones cruzadas en las cuarcitas de Candana inferior. Flanco inverso del anticlinal de Mondoñedo. (CA₁)



677.- Estratificación cruzada en la cuarcita de Candana inferior, indicando que los aportes vendrían del Este. Flanco inverso del anticlinal de Mondoñedo. (CA₁)

74.- Detalle de la muestra PM-74,
correspondiente a terraza Q₁T₁ del
río Miño.

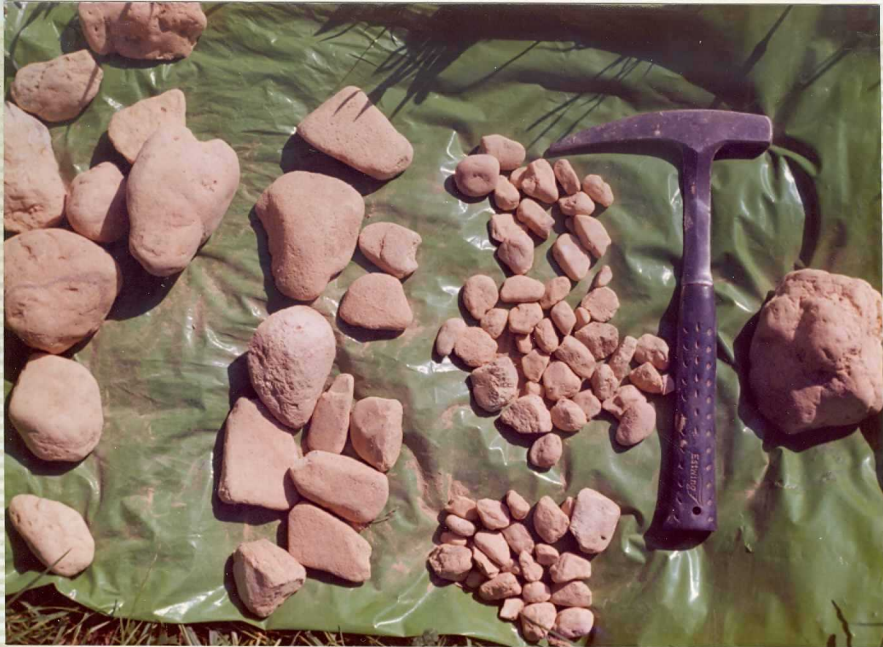




76.- Detalle de la muestra PM-76 correspondiente a la Llanura aluvial, Q₂A1, del río Anllo.

1480.- Detalle de la muestra PM-80,
co correspondiente a la terraza Q₁T₁
de del río Miño.





88.- Detalle de la muestra PM-88 correspondiente a la terraza Q_1T_2 del río Miño.